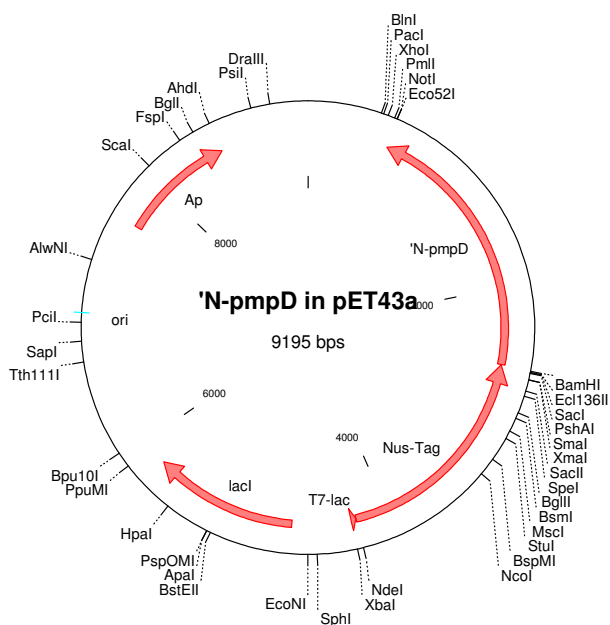


8 Anhang

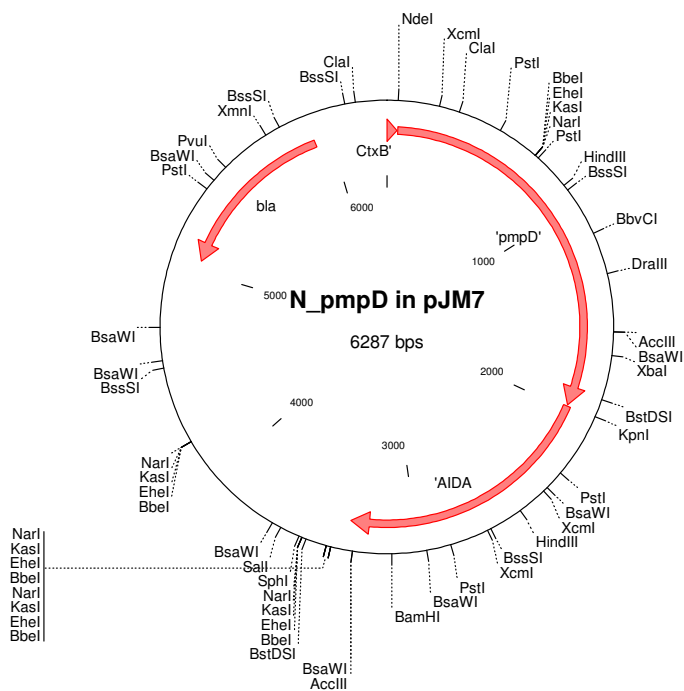
8.1 Konstruktübersicht

Kürzel	Nr. (Stammsa.)	Name	Vektor	Beschreibung
WW10	H3356	pET43a::N-pmpD	pET43a	NusA-(S17-T670 von PmpD)-His ₆ Fusion zur IPTG-induzierbaren Expression in <i>E. coli</i>
WW11	H3357	N-pmpD-AIDA	pJM7	ctxB SS [*] -(S17-T670 von PmpD)-AIDA C-Terminus Fusion, konstitutiver P _K Promotor
WW12	H3358	N+M-pmpD-AIDA	pJM7	ctxB SS [*] -(S17-M1145 von PmpD)-AIDA C-Terminus Fusion, konstitutiver P _K Promotor

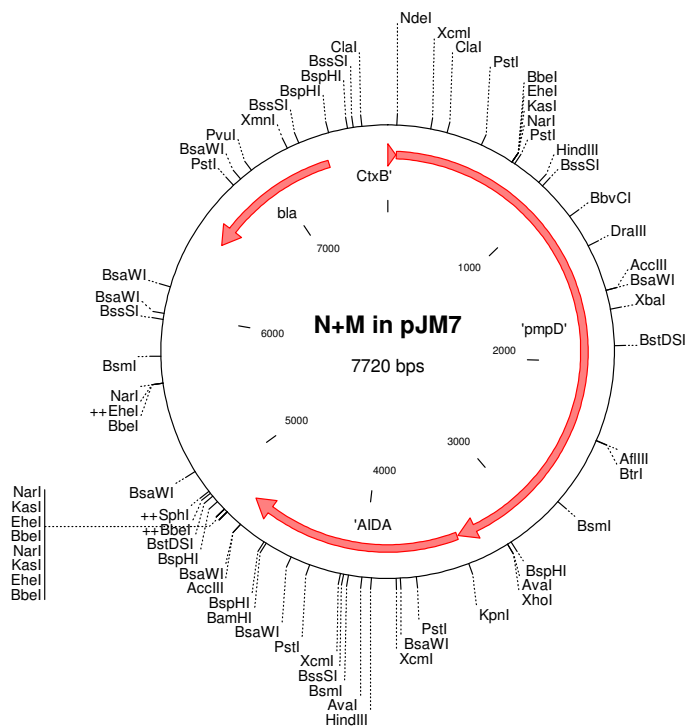


WW 10

AS 17-670 von PmpD wurden über die Di-/ Trinukleotid-Methode in den HindIII-/EcoRI-geschnittenen Vektor pET43a kloniert. Der N-terminale NusA-Teil diente zur Verbesserung der Löslichkeit des überexprimierten Proteins.

**WW11**

AS 17-670 von PmpD wurden über NdeI und KpnI nach den 21 AS der *ctxB*-Signalsequenz und vor den *aida-1* Linker kloniert (Maurer *et al.*, 1997).

**WW12**

AS 17-1145 von PmpD wurden über NdeI und KpnI nach den 21 AS der *ctxB*-Signalsequenz und vor den *aida-1* Linker kloniert (Maurer *et al.*, 1997).

8.2 Danksagung

Mein Dank gilt Herrn Prof. Dr. Thomas F. Meyer für die Vergabe des spannenden Themas sowie die ausgezeichnete Begleitung durch zahllose wertvolle Ratschläge und Anregungen und die unermüdliche Bereitschaft zur wissenschaftlichen Diskussion. Zu erwähnen sind hier auch die hervorragenden Arbeitsbedingungen in der „Abteilung Meyer“ am Max-Planck-Institut für Infektionsbiologie.

Frau Dr. Agnes J. Szczepek danke ich für Betreuung meiner Doktorarbeit zu jeder Tageszeit, ihre Recherchen, Korrekturen der Veröffentlichungen, vor allem aber das Angebot sowohl eigenständige Ideen und Arbeiten zu fördern als auch bei großen wie kleinen Entscheidungen mit ihrem unglaublich weiten Wissenshorizont helfend zur Seite zu stehen.

Herrn Prof. Dr. Volker A. Erdmann danke ich in besonderer Weise für die Vertretung meiner Dissertation im Fachbereich Biologie, Chemie und Pharmazie der Freien Universität Berlin und die Begutachtung der Arbeit.

Herrn Dr. Peter R. Jungblut gilt mein Dank für die Unterstützung der Proteomarbeiten, die praktischen und vor allem strategischen Ratschläge.

Frau Ina Wagner, Frau Dr. Uschi Zimny-Arndt und Herrn Frank Sijak danke ich für die Hilfe bei der 2D-Elektrophorese, Frau Monika Schmid und Herrn Frank Schmid bei der Massenspektroskopie.

Frau Dr. Eva C. Müller möchte ich für ihre Geduld bei Messung und Auswertung zahlreicher Proben mit der ESI-MS/MS danken.

Herrn Dr. Robert Hurwitz und Herrn Ralf Winter danke ich für die Hilfe bei der Protein- und Antikörperaufreinigung.

Herr Michael Vasil sei gedankt für das verwendete Antiserum gegen das *E. coli* Fur-Protein.

Der gesamten Chlamydien-Arbeitsgruppe, besonders aber Adrian, André, Anette, Dagmar, Elke, Hesham, Josha, Krishna, Marion, Nicole und Peter danke ich für die kooperative Atmosphäre und den intellektuellen Austausch, die Unterstützung im Labor und vor allem die anregenden Diskussionen über Wesentliches und weniger Wesentliches.

Anja und ihrer phantastischen Familie danke ich für ihre Geduld und die Zeit zu zweit.

Meiner Familie und vor allem meinen Eltern gilt mein größter Dank für die Ermutigung meiner Pläne und die vorbehaltlose Unterstützung in jeder Hinsicht.

8.3 Veröffentlichungen aus dieser Arbeit

Teile dieser Arbeit wurden oder werden veröffentlicht:

Wolfgang Wehrl, Volker Brinkmann, Peter R. Jungblut, Thomas F. Meyer*,
Agnes J. Szczepek

*From the inside out – processing of the Chlamydial autotransporter PmpD and its
role in bacterial adhesion and activation of human host cells*

Mol.Microbiol. **51**: 319-334 (2004)

Wolfgang Wehrl, Eva-Christina Müller, Peter R. Jungblut, Thomas F. Meyer,
Agnes J. Szczepek*

*Action and reaction - Chlamydomonas reinhardtii proteome alteration in a persistent
infection induced by iron deficiency*

submitted to Proteomics (invitation for Special Issue “Proteomics of Pathogens”)

Ergebnisse der Studie im Internet unter <http://www.mpiib-berlin.mpg.de/2D-page>

Klaus-Peter Pleißner, Peter Schmelzer, Uldus Kojasteh, Wolfgang Wehrl, Peter R.
Jungblut*

*Presentation of differentially regulated proteins within a web-accessible proteome
database system of microorganisms*

submitted to *Proteomics* (invitation for Special Issue “Proteomics of Pathogens”)

*corresponding author

Als Patent wurde angemeldet:

Thomas F. Meyer, Wolfgang Wehrl, Agnes J. Szczepek

The role of processed Chlamydial Autotransporter PmpD in Bacterial Adhesion and
activation of human host cells

8.4 Lebenslauf

Geburtsdatum	29. April 1974
Geburtsort	Amberg
Eltern	Georg Wehrl Christine Wehrl, geb. Pöllath
Anschrift	Manteuffelstr. 101 10997 Berlin Tel.: 030/61 074 898 - 0160/37 15 636
Schule	09/1980 - 08/1984 Grundschule in Illschwang 09/1984 - 06/1993 Max-Reger-Gymnasium in Amberg (musisches Gymnasium)
Studium	11/1993 - 09/1994 Beginn des Biochemie-Studiums in Bayreuth 10/1994 - 09/1995 Grundwehrdienst in Bad Salzungen und Erfurt 10/1995 - 09/1999 Fortsetzung des Biochemie-Studiums
Praktika	01/1998 - 03/1998 Auslandsaufenthalt in York, Großbritannien 04/1998 Immunologie an der Friedrich-Alexander-Universität Erlangen-Nürnberg 10/1999 - 04/2001 Strukturelle und funktionelle Folgen der Rifampizin-Resistenz bei <i>Helicobacter pylori</i> Institut für medizinische Mikrobiologie, Universität Regensburg
Diplomarbeit	03/1999 - 09/1999 Funktionelle Analyse des <i>Bacillus subtilis</i> FtsH-Proteins dafür: Preis der Stadt Bayreuth 1999
Promotion	seit 05/2000 Proteomanalyse von <i>Chlamydia pneumoniae</i> Max-Planck Institut für Infektionsbiologie, Berlin

8.5 Publikationsliste

Wehrl W, Brinkmann V, Jungblut PJ, Meyer TF, Szczepek AJ.

From the inside out - processing of the chlamydial autotransporter PmpD and its role in bacterial adhesion and activation of human cells.

Molecular Microbiology 2004 Jan; 51(2):319-334

PMID: 14756775 [PubMed - in process] [MMI-2003-01516]

Heep M, Lehn N, Brandstatter B, Rieger U, Senzenberger S, **Wehrl W**.

Detection of rifabutin resistance and association of rpoB mutations with resistance to four rifamycin derivatives in Helicobacter pylori.

Eur J Clin Microbiol Infect Dis. 2002 Feb;21(2):143-5.

PMID: 11939398 [PubMed - indexed for MEDLINE]

Hartl B, **Wehrl W**, Wiegert T, Homuth G, Schumann W.

Development of a new integration site within the Bacillus subtilis chromosome and construction of compatible expression cassettes.

J Bacteriol. 2001 Apr;183(8):2696-9.

PMID: 11274134 [PubMed - indexed for MEDLINE]

Wehrl W, Niederweis M, Schumann W.

The FtsH protein accumulates at the septum of Bacillus subtilis during cell division and sporulation.

J Bacteriol. 2000 Jul;182(13):3870-3.

PMID: 10851010 [PubMed - indexed for MEDLINE]

8.6 Abkürzungen

ACP	Acyl-carrier protein
AK	Aberante Körperchen (persistente Retikularkörperchen)
APS	Ammonium Persulfat
AS	Aminosäure(n)
Bq	Bequerel
CH	Cycloheximid
CHAPS	3-([3-Cholamidopropyl]dimethylammonium)-1-Propan Sulfonat
Ci	Curie
COMC	<i>chlamydiale</i> äußere Membran Komplex(e)
C-pmpD	C-terminaler Teil von PmpD
2D-	zwei-dimensional(e)
DAM	Deferoxamin-mesylat
DH	Dehydrogenase
DHB	2,5-Dihydroxibenzoessäure
EF-Ts	Elongationsfaktor Ts
DTT	Dithiothreitol
EDTA	Ethylen Diamin Tetraessigsäure
EK	Elementarkörperchen
ELISA	<i>Enzyme linked immunosorbent assay</i>
ESI	Elektronenspray-Ionisierung
ET	Emetin
FBS	Fötale Rinderserum
HEPES	N-[2-Hydroxyethyl]piperazine-N'-[2-Ethansulfonsäure]
HPLC	<i>High pressure liquid chromatographie</i>
Hsp	Hitzeschockprotein
IDO	Indoleamine 2,3-dioxigenase
IFN γ	Interferon gamma
IPTG	Isopropyl- β -D-Thiogalaktopyranosid
ITAM	Immunrezeptor Tyrosin-vermitteltes Aktivierungsmotiv
ITIM	Immunrezeptor Tyrosin-vermitteltes Inhibierungsmotiv
LPS	Lipopolysaccharid
MALDI	Matrix-assistierte Laser-Desorptions Ionisierung

MBP	Maltose-Bindeprotein
MCP-1	Monozyten <i>Chemoattrakt</i> -Protein 1
MHC	<i>Major Histocompatibility Complex</i>
MOI	<i>Multiplicity of Infektion</i> (EK pro Wirtszelle)
MOMP	Hauptprotein der äußeren Membran
M-pmpD	Mittlerer Teil von PmpD
2-ME	β-Mercaptoethanol
NO	Stickstoff Monoxid
N-pmpD	N-terminaler Teil von PmpD
NF-κB	Nuklearer Faktor-kappaB
OM	Äußere Membran
Opa	Kolonie <i>Opacity</i> -assoziiert
PAGE	Poly-Acrylamid Gelelektrophorese
PCR	Polymerase Kettenreaktion
PFA	Paraformaldehyd
PMA	Phorbol 12-Myristat 13-Acetat
PMF	<i>Peptide mass fingerprint</i> ("Peptid-Fingerabdruck")
Pmp	Polymorphe(s) Membran Protein(e)
PMSF	Phenylmethylsulfonylfluorid
PVDF	Polyvinylidenfluorid
p.i.	post Infektion
Q-TOF	Quatrupol- <i>time of flight</i>
RK	Retikularkörperchen
RNS	Stickstoff Radikale/Spezies
ROS	Sauerstoff Radikale/Spezies
RT	Raumtemperatur
SDS	Natrium Dodecyl Sulfat
SSP	standard spot number
STF®	STRECK TISSUE FIXATIVE
TEMED	Tetramethyl-Ethylendiamin
TFA	Tri-Fluor-Essigsäure
TNFα	Tumor Nekrose Faktor alpha
Tris	Tris-[Hydroxymethyl]-Aminomethan
ü/n	über Nacht